

一、单项选择题

1. 我国成功研发的反隐身先进米波雷达堪称隐身飞机的克星,它标志着我国雷达研究又创新的里程碑。米波雷达发射无线电波的波长在 1~10m 范围内,对该无线电波判断正确的是 ()



- A. 米波的频率比厘米频率高
- B. 和机械波一样须靠介质传播
- C. 同光波一样会发生反射现象
- D. 不可能产生干涉和衍射现象

解析: 根据 $f = \frac{v}{\lambda}$ 可知, 波长越长, 频率越低, 故米波的频率比厘米频率低, 故 A 错误;

B、无线电波不需要介质传播, 故 B 错误;

C、无线电波同光波一样会发生反射现象, 故 C 正确;

D、干涉和衍射是波特有的现象, 所以无线电波能产生干涉和衍射现象, 故 D 错误。

答案: C

2. 如图是 a、b 两光分别经过同一双缝干涉装置后在屏上形成的干涉图样, 则 ()



a 光的干涉图样



b 光的干涉图样

- A. 在同种均匀介质中, a 光的传播速度比 b 光的大
- B. 从同种介质射入真空发生全反射时 a 光临界角大
- C. 照射在同一金属板上发生光电效应时, a 光的饱和电流大
- D. 若两光均由氢原子能级跃迁发生, 产生 a 光的能级能量差大

解析: A、由图可知 a 光的干涉条纹间距小于 b 光, 根据 $\Delta x = \frac{L}{d} \lambda$ 可知, a 的波长小于 b 光,

则 a 光的频率大于 b 光, a 的折射率大于 b 光, 根据 $n = \frac{c}{v}$ 可知, 在同种介质中传播时 a 光的

传播速度比 b 光的小, 故 A 错误;

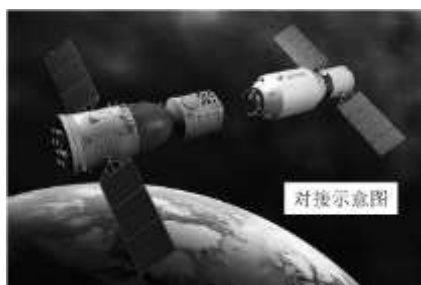
B、根据 $\sin C = \frac{1}{n}$ 可知，同种介质射入真空发生全反射时 a 光临界角小，故 B 错误；

C、光电效应时饱和电流与入射光的强度有关，所以无法判断饱和电流的大小，故 C 错误；

D、因 a 光的频率大，故若两光均由氢原子能级跃迁产生，则产生 a 光的能级差大，故 D 正确。

答案：D

3. 我国将发射天宫二号空间实验室，之后发射神州十一号飞船与天宫二号对接。假设天宫二号与神州十一号都围绕地球做匀速圆周运动，为了实现飞船与空间实验室的对接，下列措施可行的是（ ）



A. 使飞船与空间实验室在同一轨道上运行，然后飞船加速追上空间实验室实现对接

B. 使飞船与空间实验室在同一轨道上运行，然后空间实验室减速等待飞船实现对接

C. 飞船先在比空间实验室半径小的轨道上加速，加速后飞船逐渐靠近空间实验室，两者速度接近时实现对接

D. 飞船先在比空间实验室半径小的轨道上减速，减速后飞船逐渐靠近空间实验室，两者速度接近时实现对接

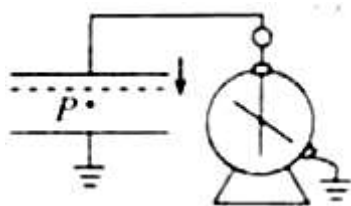
解析：A、B、在同一轨道上运行加速做离心运动，减速做向心运动均不可实现对接。则 AB 错误

C、飞船先在比空间实验室半径小的轨道上加速，则其做离心运动可使飞船逐渐靠近空间实验室，两者速度接近时实现对接。则 C 正确

D、飞船先在比空间实验室半径小的轨道上减速，则其做向心运动，不可能与空间实验室相接触。则 D 错误。

答案：C

4. 如图所示，平行板电容器带有等量异种电荷，与静电计相连，静电计金属外壳和电容器下极板都接地。在两极板间有一固定在 P 点的点电荷，以 E 表示两极板间的电场强度， E_p 表示点电荷在 P 点的电势能， θ 表示静电计指针的偏角。若保持下极板不动，将上极板向下移动一小段距离至图中虚线位置，则（ ）



A. θ 增大，E 增大

B. θ 增大， E_p 不变

C. θ 减小， E_p 增大

D. θ 减小, E 不变

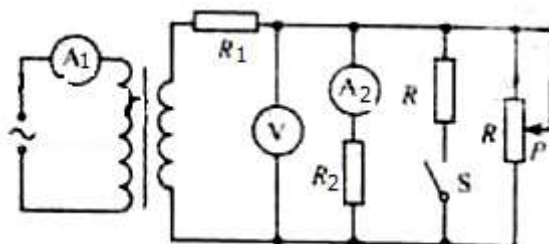
解析: 电容器与电源断开, 故电量不变; 上极板向下移动时, 两板间的距离减小, 根据 $C = \frac{\epsilon S}{4\pi kd}$ 可知, 电容 C 增大, 则根据 $C = \frac{Q}{U}$ 可知, 电压 U 减小; 故静电计指针偏角减小;

两板间的电场强度 $E = \frac{U}{d} = \frac{Q}{Cd} = \frac{4\pi kQ}{\epsilon S}$; 因此电场强度与板间距无关, 因此电场强度不变;

再根据设 P 与下极板距离为 l , 则 P 点的电势 $\phi_P = El$, 电势能 $E_P = Elq$; 因此电荷在 P 点的电势能保持不变; 故 D 正确, ABC 错误。

答案: D

5. 如图所示, 理想变压器原线圈接在交流电源上, 图中各电表均为理想电表, 下列说法正确的是()



A. 当滑动变阻器的滑动触头 P 向上滑动时, R_1 消耗的功率变大

B. 当滑动变阻器的滑动触头 P 向上滑动时, 电压表 V 示数变大

C. 当滑动变阻器的滑动触头 P 向上滑动时, 电流表 A_1 示数变大

D. 若闭合开关 S , 则电流表 A_1 示数变大, A_2 示数变大

解析: A、滑动变阻器的滑动触头 P 向上滑动时, 电阻变大, 则干路电流变小, 则 R_1 消耗的功率变小, 则 A 错误

B、干路电流变小, R_1 分压变小, 则电压表 V 的测量的电压变大, 示数变大, 则 B 正确

C、因输出电流变小, 则输出功率变小即输入功率变小, 电流表 A_1 示数变小。则 C 错误

D、闭合开关 S 并联支路增加, 电阻变小, 则副线圈即 R_1 的电流变大, 分压变大, 则 R_2 的分压变小, 电流变小。电流表 A_1 示数随副线圈电流的变大而变大, 则 D 错误。

答案: B

二、不定向选择题

6. 物理学家通过对实验的深入观察和研究, 获得正确的科学认知, 推动物理学的发展, 下列说法符合事实的是()

A. 赫兹通过一系列实验, 证实了麦克斯韦关于光的电磁理论

B. 查德威克用 α 离子轰击 ${}^{14}_7\text{N}$ 获得反冲核 ${}^{17}_8\text{O}$, 发现了中子

C. 贝克勒尔发现天然放射性现象, 说明原子核有复杂结构

D. 卢瑟福通过对阴极射线的研究, 提出了原子核式结构模型

解析: A、根据物理学史可知, 赫兹通过一系列实验, 证实了麦克斯韦关于光的电磁理论; 故 A 正确;

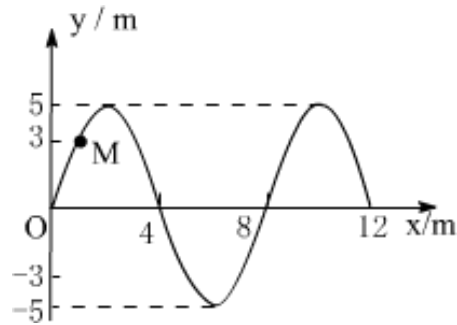
B、查德威克用 α 粒子轰击铍核, 产生中子和碳 12 原子核, 故 B 错误;

C、贝克勒尔发现天然放射性现象, 说明原子核有复杂结构; 故 C 正确;

D、卢瑟福通过对 α 射线散射的研究提出了原子的核式结构模型; 故 D 错误。

答案：AC

7. 在均匀介质中坐标原点 O 处有一波源做简谐运动，其表达式为 $y=5\sin(\frac{\pi}{2}t)$ ，它在介质中形成的简谐横波沿 x 轴正方向传播，某时刻波刚好传播到 $x=12\text{m}$ 处，波形图如图所示，则 ()



- A. 此后再经 6s 该波传播到 $x=24\text{m}$ 处
- B. M 点在此后第 3s 末的振动方向沿 y 轴正方向
- C. 波源开始振动时的运动方向沿 y 轴负方向
- D. 此后 M 点第一次到达 $y=-3\text{m}$ 处所需时间是 2s

解析：A、波的周期 $T=\frac{2\pi}{\frac{\pi}{2}}=4\text{s}$ ，波长 $\lambda=8\text{m}$ ，波速 $v=\frac{\lambda}{T}=2\text{m/s}$ ，

则再经过 6s ，波传播的距离为 $x=vt=12\text{m}$ ，故该波传到 $x=24\text{m}$ 处，故 A 正确；

B、 M 点在此时振动方向向下，则第 3 秒末，即经过了 $0.75T$ ，该点的振动方向沿 y 轴正向，故 B 正确；

C、因波传到 $x=12\text{m}$ 处时，质点向 y 轴正向振动，故波源开始振动时的运动方向沿 y 轴正向，故 C 错误；

D、 M 点第一次到达 $y=3\text{cm}$ 位置时，振动的时间为 $t=\frac{T}{4}=1\text{s}$ ，故 D 错误。

答案：AB

8. 我国高铁技术处于世界领先水平，它是由动车和拖车组合而成，提供动力的车厢叫动车，不提供动力的车厢叫拖车。假设动车组各车厢质量均相等，动车的额定功率都相同，动车的额定功率都相同，动车组在水平直轨道上运行过程中阻力与车重成正比。某列车组由 8 节车厢组成，其中第 1 、 5 节车厢为动车，其余为拖车，则该列车组 ()



- A. 启动时乘客受到车厢作用力的方向与车运动的方向相反
- B. 做匀加速运动时，第 5 、 6 节与第 6 、 7 节车厢间的作用力之比为 $3:2$
- C. 进站时从关闭发动机到停下来滑行的距离与关闭发动机时的速度成正比
- D. 与改为 4 节动车带 4 节拖车的动车组最大速度之比为 $1:2$

解析：设每节动车的功率为 P ，牵引力为 F ，每一节车厢的质量是 m ，阻力为 kmg ，
 A、启动时乘客的加速度的方向与车厢运动的方向是相同的，所以乘客受到车厢作用力的方向与车运动的方向相同。故 A 错误；

B、做加速运动时，有两节动力车厢，对整个的车进行受力分析得：

$$2F - 8kmg = 8ma$$

对 6、7、8 车厢进行受力分析得：

$$F_1 - 3kmg = 3ma$$

对 7、8 车厢进行受力分析得：

$$F_2 - 2kmg = 2ma$$

联立可得： $\frac{F_1}{F_2} = \frac{3}{2}$ 。故 B 正确；

C、设进站时从关闭发动机到停下来滑行的距离为 s ，则：

$$-8kmg \cdot s = 0 - 8 \times \frac{1}{2}mv^2$$

可得： $s = \frac{v^2}{kg}$

可知进站时从关闭发动机到停下来滑行的距离与关闭发动机时的速度的平方成正比。故 C 错误；

D、当只有两节动力车时，最大速率为 v ，则：

$$2P = 8kmg \cdot v$$

改为 4 节动车带 4 节拖车的动车组时：

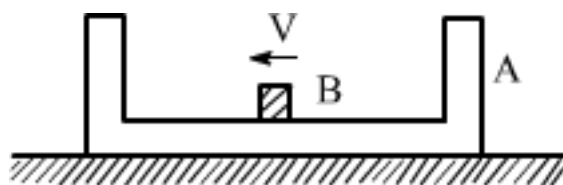
$$4P = 8kmg \cdot v'$$

所以： $v' = 2v$ ，故 D 正确。

答案：BD

三、解答题

9. 如图所示，方盒 A 静止在光滑的水平面上，盒内有一小滑块 B，盒的质量是滑块的 2 倍，滑块与盒内水平面间的动摩擦因数为 μ 。若滑块以速度 v 开始向左运动，与盒的左、右壁发生无机械能损失的碰撞，滑块在盒中来回运动多次，最终相对于盒静止，则此时盒的速度大小为_____，滑块相对于盒运动的路程为_____。



解析：设滑块的质量是 m ，碰后速度为 $v_{共}$ ，物体与盒子组成的系统合外力为 0，设向左为正方向，由动量守恒：

$$mv = (m+2m)v_{共}$$

解得： $v_{共} = \frac{1}{3}v$

开始时盒子与物块的机械能： $E_1 = \frac{1}{2}mv^2$

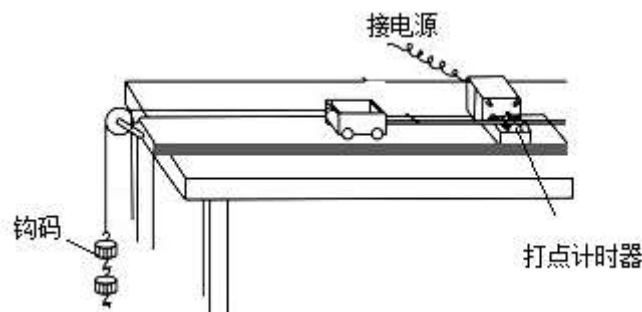
碰后盒子与物块的机械能： $E_2 = \frac{1}{2}(m+2m)v_{共}^2 = \frac{1}{6}mv^2$

损失的机械能： $\Delta E = E_1 - E_2 = \mu mg \cdot s$

联立得： $s = \frac{v^2}{3\mu g}$

答案： $\frac{1}{3}v \quad \frac{v^2}{3\mu g}$

10. 某同学利用如图所示装置研究小车的匀变速直线运动。



(1) 实验中，必要的措施是_____。

- A. 细线必须与长木板平行
- B. 先接通电源再释放小车
- C. 小车的质量远大于钩码的质量
- D. 平衡小车与长木板间的摩擦力

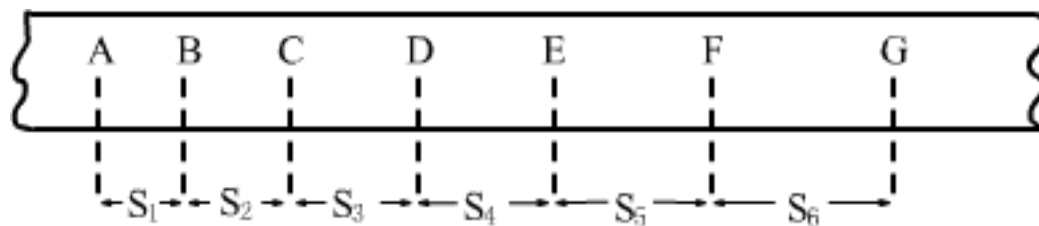
解析：A、为了让小车做匀加速直线运动，应使小车受力恒定，故应将细线与木板保持水平；同时为了打点稳定，应先开电源再放纸带；故 AB 正确；

C、本实验中只是研究匀变速直线运动，故不需要让小车的质量远大于钩码的质量；只要能 让小车做匀加速运动即可；故 C 错误；

D、由 C 的分析可知，只要摩擦力恒定即可，不需要平衡摩擦力；故 D 错误。

答案：AB

(2) 他实验时将打点机器接到频率为 50Hz 的交流电源上，得到一条纸带，打出的部分计数点 如图所示(每相邻两个计数点间还有 4 个点，图中未画出) $s_1=3.59\text{cm}$, $s_2=4.41\text{cm}$, $s_3=5.19\text{cm}$, $s_4=5.97\text{cm}$, $s_5=6.78\text{cm}$, $s_6=7.64\text{cm}$, 则小车的加速度 $a=$ ____ m/s^2 (要求充分利用测量的数据), 打点计时器在打 B 点时小车的速度 $v_B=$ ____ m/s 。(结果均保留两位有效数字)



解析：每两个计数点间有四个点没有画出，故两计数点间的时间间隔为 $T=5 \times 0.02=0.1\text{s}$ ；

根据逐差法可知，物体的加速度 $a = \frac{(s_4+s_5+s_6) - (s_1+s_2+s_3)}{9T^2} =$

$$\frac{(5.97+6.78+7.64) - (3.59+4.41+5.19)}{9 \times 0.01} \times 10^{-2} = 0.80\text{m/s}^2;$$

B点的速度等于AC段的平均速度，则有： $v = \frac{s_1+s_2}{2T} = \frac{0.0359+0.0441}{0.1 \times 2} = 0.40\text{m/s}$ 。

答案：0.80 0.40

11. 某同学想要描绘标有 3.8V 0.3A 字样小灯泡 L 的伏安特性曲线，要求测量数据尽量精确、绘制曲线完整。可供该同学选用的器材除开关、导线外，还有：

电压表 V_1 (0~3V，内阻等于 $3\text{k}\Omega$)

电压表 V_2 (0~15V，内阻等于 $15\text{k}\Omega$)

电流表 A_1 (0~200mA，内阻等于 10Ω)

电流表 A_2 (0~3A，内阻等于 0.1Ω)

滑动变阻器 R_1 (0~ 10Ω ，额定电流 2A)

滑动变阻器 R_2 (0~ $1\text{k}\Omega$ ，额定电流 0.5A)

定值电阻 R_3 (阻值等于 1Ω)

定值电阻 R_4 (阻值等于 10Ω)

定值电阻 R_5 (阻值等于 $1\text{k}\Omega$)

电源 E (E=6V，内阻不计)

(1) 请在方框中画出实验电路图，并将各元件字母代码标在元件的符号旁。

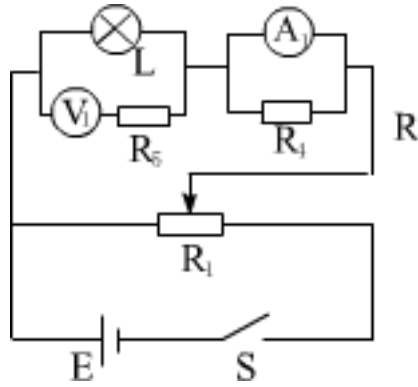


解析：灯泡额定电压为 3.8V，而给出的电压表量程分别为 15V 和 3V，15V 量程太大，无法正确测量；故只能选用 3V 量程，并且与定值电阻串联扩大量程；3V 量程的电压表内阻为 $3\text{k}\Omega$ ；根据串并联电路规律可知，应选择 $1\text{k}\Omega$ 的定值电阻串联；

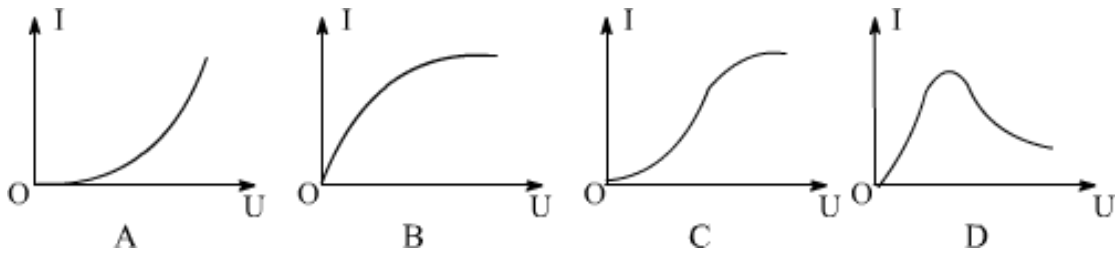
额定电流为 0.3A，而给出的量程中 3A 量程过大，不能使用；只能采用将电流表量程 200mA 的电流表与定值电阻并联的方式来扩大量程；根据改装原理可知，并联 10Ω 的定值电阻，即可将量程扩大到 0.4A；

因本实验中要求多测几组数据，因此应采用滑动变阻器分压接法；同时因灯泡内阻较小，故采用电流表外接法；故答案如图所示。

答案：如图所示：



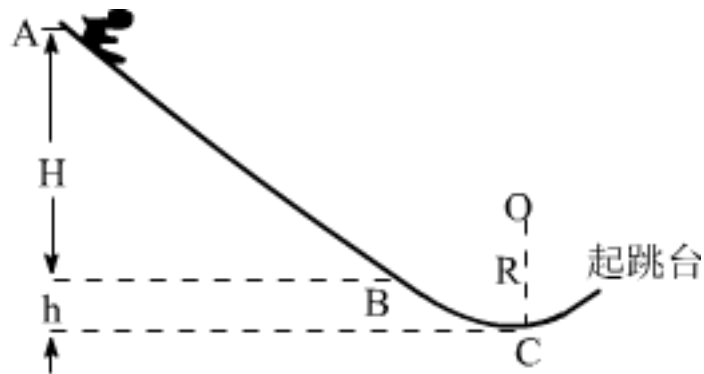
(2) 该同学描绘出的 $I - U$ 图象应是图中的_____。



解析：因灯泡电阻随温度的增加而减小，因此在 $I - U$ 图象中图线的斜率应越来越小。

答案：B

12. 我国将于 2022 年举办冬奥运会，跳台滑雪是其中最具观赏性的项目之一，如图所示，质量 $m=60\text{kg}$ 的运动员从长直轨道 AB 的 A 处由静止开始以加速度 $a=3.6\text{m/s}^2$ 匀加速下滑，到达助滑道末端 B 时速度 $v_B=24\text{m/s}$ ，A 与 B 的竖直高度差 $H=48\text{m}$ 。为了改变运动员的运动方向，在助滑道与起跳台之间用一段弯曲滑道衔接，其中最低点 C 处附近是一段以 O 为圆心的圆弧，助滑道末端 B 与滑道最低点 C 的高度差 $h=5\text{m}$ ，运动员在 B、C 间运动时阻力做功 $W = -1530\text{J}$ ，取 $g=10\text{m/s}^2$ 。



(1) 求运动员在 AB 段下滑时受到阻力 F_f 的大小。

解析：运动员在 AB 上做初速度为零的匀加速运动，设 AB 的长度为 x ，斜面的倾角为 α ，则

$$v_B^2 = 2ax$$

根据牛顿第二定律得

$$mg \sin \alpha - F_f = ma$$

$$\text{又 } \sin \alpha = \frac{H}{x}$$

由以上三式联立解得 $F_f = 144\text{N}$ 。

答案：求运动员在 AB 段下滑时受到阻力 F_f 的大小是 144N

(2) 若运动员能承受的最大压力为其所受重力的 6 倍，则 C 点所在圆弧的半径 R 至少应为多大。

解析：设运动员到达 C 点时的速度为 v_C ，在由 B 到达 C 的过程中，由动能定理有

$$mgh + W = \frac{1}{2}mv_C^2 - \frac{1}{2}mv_B^2$$

设运动员在 C 点所受的支持力为 F_N ，由牛顿第二定律得

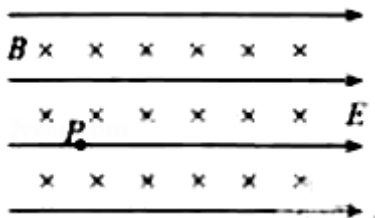
$$F_N - mg = m\frac{v_C^2}{R}$$

由运动员能承受的最大压力为其所受重力的 6 倍，即有 $F_N = 6mg$

联立解得 $R = 12.5\text{m}$ 。

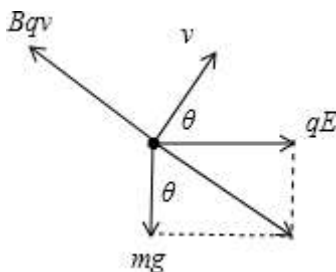
答案：若运动员能承受的最大压力为其所受重力的 6 倍，则 C 点所在圆弧的半径 R 至少应为 12.5m。

13. 如图所示，空间存在着水平向右的匀强电场，电场强度大小 $E = 5\sqrt{3}\text{N/C}$ ，同时存在着水平方向的匀强磁场，其方向与电场方向垂直，磁感应强度大小 $B = 0.5\text{T}$ 。有一带正电的小球，质量 $m = 1.0 \times 10^{-6}\text{kg}$ ，电荷量 $q = 2 \times 10^{-6}\text{C}$ ，正以速度 v 在图示的竖直面内做匀速直线运动，当经过 P 点时撤掉磁场（不考虑磁场消失引起的电磁感应现象），取 $g = 10\text{m/s}^2$ 求：



(1) 小球做匀速直线运动的速度 v 的大小和方向。

解析：小球做匀速直线运动时，受力如图，



其所受的三个力在同一平面内，合力为零，则有：

$$Bqv = \sqrt{q^2 E^2 + m^2 g^2}$$

带入数据解得： $v = 20\text{m/s}$ ，

速度 v 的方向与电场 E 的方向之间的夹角满足 $\tan \theta = \frac{qE}{mg}$,

解得: $\tan \theta = \sqrt{3}$, 则 $\theta = 60^\circ$ 。

答案: 小球做匀速直线运动的速度 v 的大小为 20m/s , 方向与电场 E 的夹角为 60°

(2) 从撤掉磁场到小球再次穿过 P 点所在的这条电场线经历的时间 t 。

解析: 撤去磁场后, 由于电场力垂直于竖直方向, 它对竖直方向的分运动没有影响, 以 P 点为坐标原点, 竖直向上为正方向, 小球在竖直方向上做匀减速直线运动, 其初速度为 $v_y = v \sin \theta$,

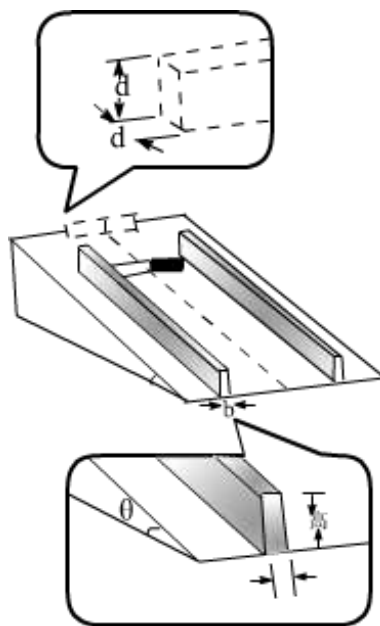
若使小球再次穿过 P 点所在的电场线, 仅需小球的竖直方向的分位移为零, 则有:

$$v_y t - \frac{1}{2} g t^2 = 0$$

联立解得 $t = 2\sqrt{3}\text{s}$ 。

答案: 从撤掉磁场到小球再次穿过 P 点所在的这条电场线经历的时间为 $2\sqrt{3}\text{s}$

14. 电磁缓速器是应用于车辆上以提高运行安全性的辅助制动装置, 其工作原理是利用电磁阻尼作用减缓车辆的速度。电磁阻尼作用可以借助如下模型讨论: 如图所示, 将形状相同的两根平行且足够长的铝条固定在光滑斜面上, 斜面与水平方向夹角为 θ , 一质量为 m 的条形磁铁滑入两铝条间, 恰好匀速穿过, 穿过时磁铁两端面与两铝条的间距始终保持恒定, 其引起电磁感应的效果与磁铁不动, 铝条相对磁铁运动相同。磁铁端面是边长为 d 的正方形, 由于磁铁距离铝条很近, 磁铁端面正对两铝条区域的磁场均可视为匀强磁场, 磁感应强度为 B , 铝条的高度大于 d , 电阻率为 ρ , 为研究问题方便铝条只考虑与磁场正对部分的电阻和磁场, 其他部分电阻和磁场可忽略不计, 假设磁场进入铝条间以后, 减少的机械能完全转化为铝条的内能, 重力加速度为 g 。



(1) 求铝条中与磁铁正对部分的电流 I 。

解析: 磁铁在铝条间运动时, 两根铝条受到的安培力大小为:

$$F_{安}=BI d$$

磁铁受到沿斜面向上的作用力，其大小有：

$$F=2F_{安}$$

磁铁匀速运动时受力平衡，则有：

$$F - mg \sin \theta = 0$$

联立可得：

$$I = \frac{mg \sin \theta}{2Bd}。$$

答案：铝条中与磁铁正对部分的电流 I 是 $\frac{mg \sin \theta}{2Bd}$

(2) 求两铝条的宽度均为 b ，推导磁铁匀速穿过铝条间时速度 v 的表达式。

解析：磁铁匀速穿过铝条间时，在铝条中产生的感应电动势为 E ，则有：

$$E = Bdv$$

铝条与磁铁正对部分的电阻为 R ，由电阻定律有：

$$R = \rho \frac{d}{db}$$

由欧姆定律有：

$$I = \frac{E}{R}$$

由上式联立可得：

$$v = \frac{\rho mg \sin \theta}{2B^2 d^2 b}。$$

答案：两铝条的宽度均为 b ，磁铁匀速穿过铝条间时速度 v 的表达式是 $v = \frac{\rho mg \sin \theta}{2B^2 d^2 b}。$

(3) 在其他条件不变的情况下，仅将两铝条更换为宽度 $b' > b$ 的铝条，磁铁仍以速度 v 进入铝条间，试简要分析说明磁铁在铝条间运动的加速度和速度如何变化。

解析：磁铁以速度 v 进入铝条间，恰好做匀速运动时，磁铁受到沿斜面向上的作用力 F ，由上式联立可得：

$$F = \frac{2B^2 d^2 b v}{\rho}$$

当铝条的宽度 $b' > b$ 时，磁铁以速度 v 进入铝条间时，磁铁受到的作用力变为 F' ，有：

$$F' = \frac{2B^2 d^2 b' v}{\rho}$$

可见， $F' > F = mg \sin \theta$ ，磁铁受到的合力方向沿斜面向上，获得与运动方向相反的加速度，磁铁将减速下滑，此时加速度最大，之后，随着运动速度减小， F' 也随着减小，磁铁所受的合力也减小，由于磁铁加速度与所受的合力成正比，则磁铁的加速度逐渐减小。

综上所述，磁铁做加速度逐渐减小的减速运动，直到 $F' = mg \sin \theta$ 时，磁铁重新达到平衡状态，将再次以较小的速度匀速下滑。

答案：磁铁做加速度逐渐减小的减速运动，直到 $F' = mg\sin\theta$ 时，磁铁重新达到平衡状态，将再次以较小的速度匀速下滑。